

VI-18 有限要素法による波動解析について(3)

一透過程構造物への適用

熊本大学 工学部 正員 ○高川 清
熊本大学 工学部 正員 田村 駿修

1. はじめに 前回までに、波動問題への有限要素法の適用として、流体域での微小振幅波動および有限振幅波動の解析^{1), 2)}を示しているが、今回は、透過程構造物など流体抵抗の存在する領域への適用と微小振幅波動の場合について行なったので、ここにその解析手法について報告する。

2. 基礎式 図-1に示す2次

元の領域下、静水面に座標原点をとり、水平にx軸、鉛直上向きにy軸をとり、周波数 $\omega (=2\pi/T, T$ は周期) の入射波

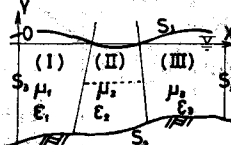


図-1 解析領域

境界 S_1, S_2, S_3 で囲まれた領域を、壁際率 $E_j (j=1, 2, 3)$ の異なる透過程領域I, II, IIIに区分する。各領域内での流体の運動は、流速に比例した線形の抵抗を受けるとして、その係数を μ_j とすると、運動は速度ポテンシャル $\psi_j = \phi_j(x, y) e^{i\omega t}$ をもち、各領域内部での連続の式および運動の式は次のようになる。

$$\frac{\partial^2 \psi_j}{\partial x^2} + \frac{\partial^2 \psi_j}{\partial y^2} = 0 \quad \dots \text{①}$$

$$\frac{1}{gV_r} (\frac{\partial \psi_j}{\partial t} + \mu_j \nabla \psi_j) + \beta_j \psi_j + g = 0 \quad \dots \text{②}$$

$$\text{ここで, } \beta_j = \frac{1}{gV_r} (1 + (1 - E_j) C_{nj}) \\ (C_{nj}: \text{時加算量係数})$$

また、水表面では、圧力 $p_a = 0$ であるから

$$\psi_j = -\frac{1}{gV_r} (\frac{\partial \psi_j}{\partial t} + \mu_j \nabla \psi_j) \text{ および } \frac{\partial \psi_j}{\partial t} = \frac{\partial \psi_j}{\partial y} \quad \dots \text{③}$$

水底など不透過程境界 S_3 では

$$\frac{\partial \psi_j}{\partial n} = 0 \quad (n: \text{外向き法線方向余弦}) \quad \dots \text{④}$$

流体中の左右解析境界 S_1, S_2 では

$$\frac{\partial \psi_j}{\partial n} = \frac{\partial \psi_j}{\partial n} \quad (j=1, 3) \quad \dots \text{⑤}$$

とする。すなはち解析領域外部の速度ポテンシャルを意味する。一方、各領域の境界面では、たとえば、領域I, IIの境界条件は、

$$\frac{\partial \psi_j}{\partial n} = \frac{\partial \psi_i}{\partial n} \quad \dots \text{⑥}$$

$$H = \beta_j \psi_j + g = -\frac{1}{gV_r} (\frac{\partial \psi_j}{\partial t} + \mu_j \nabla \psi_j) = -\frac{1}{gV_r} (\frac{\partial \psi_j}{\partial t} + \mu_j \nabla \psi_j)$$

これは、mass-flux および energy-flux を規定するものである。

以上、解析としては、式⑥の条件の下に式①～式⑤を解く事になるが、ここでは以下のように考える。

運動の周期性を考慮して $H = H e^{i\omega t}$ とすると式⑥より

$$\left. \begin{aligned} \phi_j &= -\beta_j H \\ p_j &= gV_r / (i\omega + \mu_j V_r) \end{aligned} \right\} \dots \text{⑦}$$

この H を用いると、各条件式は

$$\left. \begin{aligned} \text{領域内部: } \frac{\partial}{\partial x} (\beta_j \frac{\partial H}{\partial x}) + \frac{\partial}{\partial y} (\beta_j \frac{\partial H}{\partial y}) &= 0 \\ \text{水表面: } i\omega H|_{y=0} &= -\beta_j \frac{\partial H}{\partial y}|_{y=0} \\ \text{境界 } S_2: -\beta_j \frac{\partial H}{\partial n} &= 0 \\ \text{境界 } S_3: \beta_j \frac{\partial H}{\partial n} &= \beta_j \frac{\partial H}{\partial n} (H_0 - \frac{1}{\rho_j} \phi_j) \end{aligned} \right\} \dots \text{⑧}$$

である。ただし、領域が流体のみの場合には、 $E_j = 1$, $\mu_j = 0$ とすればよい。

3. 変分原理 式⑧で示される境界値問題に対して次の汎関数を考える。

$$J = \iint \left[\frac{1}{2} (\beta_j \frac{\partial H}{\partial x})^2 + \beta_j \frac{\partial H}{\partial y} \right] dx dy - \int_{S_1} H dS_1 - \int_{S_3} M H dS_3 \quad \dots \text{⑨}$$

ここに、変分を受ける独立量は H のみである。この変分を取り結果のみ示すと次のようである。

$$S_L = \iint \left[\frac{1}{2} (\beta_j \frac{\partial H}{\partial x})^2 + \frac{1}{2} (\beta_j \frac{\partial H}{\partial y})^2 \right] dH dx dy + \int_{S_1} (\beta_j \frac{\partial H}{\partial n} - L) dH dS_1 \\ + \int_{S_3} (\beta_j \frac{\partial H}{\partial n} - M) dH dS_3 \quad \dots \text{⑩}$$

すなわち、式⑨の汎関数を停留にする条件として、式⑧の条件式がすべて得られる。ただし、上式中 $L = -i\omega H$, $M = \beta_j \frac{\partial H}{\partial n}$ である。

4. 有限要素法による定式化 解析領域 Δ を三角形要素群に分割して、1つの要素 i, j, m 内での $H(x, y)$ をその節点値 $[H]^T = [H_i, H_j, H_m]$ で表現すると

$$H(x, y) = [N_i, N_j, N_m] \{H\} = [N] \{H\} \quad \dots \text{⑪}$$

ここに、 $[N]$ は三角形要素の形状関数である。また、これらの係数マトリックスに関する詳細は、文献①を参照されたい。これら、

$$\left. \begin{aligned} \frac{\partial H}{\partial x} &= [\frac{\partial N}{\partial x}] \{H\} = B \{H\} \\ \frac{\partial H}{\partial y} &= [\frac{\partial N}{\partial y}] \{H\} = C \{H\} \end{aligned} \right\} \dots \text{⑫}$$

また、境界 S_1, S_3 では、境界上の節点 i, j, m における値を用いて、

$$H = [N_i N_j] \{H\}, L = [N_i N_j] \{L\}, M = [N_i N_j] \{M\} \quad \dots (3)$$

と表すことにする。式②、式③を用いて、式④を表す。

$$\chi = \frac{1}{2} \sum_{ij} \{H\}^T (\beta_i BB^T + \beta_j CC^T) \{H\} \Delta - \sum_{ij} \{H\} S \{L\} - \sum_{ij} \{H\} S \{M\} \quad \dots (4)$$

ここに、 $S = \int_S [N_i N_j]^T [N_i N_j] dS$, Δ : 三角形の面積であり、 $\beta_i, \beta_j, \beta_{ij}$ は、それぞれ解析領域内および境界 S_1, S_2 に関する総和を意味する。この式④に、先に示す変分原理を適用して、 $\{L\} = -i\{\{H\}\}, \{M\} = \beta_j \{\partial H / \partial n\}$ を用いること、次の連立方程式が得られる。

$$\beta_j \sum_{ij} (BB^T + CC^T) \{H\} \Delta + i \sum_{ij} S \{H\} - \beta_j \sum_{ij} S \{\partial H / \partial n\} \quad \dots (5)$$

5. 壁境界処理

入射および通過位置での速度ポテンシャルを次のように表現する。

$$\begin{aligned} \Psi_{in, in} &= i \frac{g a}{\sigma} (e^{-ik_0 x_0} + A_r e^{ik_0 x_0}) \frac{\cosh k_0 (h_0 + d)}{\cosh k_0 h_0} e^{i \omega t} = -\beta_j H_{in, in} \\ \Psi_{out, out} &= i \frac{g a}{\sigma} A_t \frac{\cosh k_0 (h_0 + d)}{\cosh k_0 h_0} e^{i \omega t} = -\beta_j H_{out, out} \end{aligned} \quad \dots (6)$$

ここに、 a : 入射波振幅、 k_0, k_0 および h_0, h_0 はそれぞれの位置における波数および水深を意味する。また、 A_r, A_t は反射波および通過波を表わす定数である。

この式⑥を式⑤に代入して得られる連立方程式は、節点数に等しい数の $\{H\}$ と A_r, A_t の未知量を含むが、結局は、反射波および通過波に関する未知量の数(ここで A_r, A_t の 2 個)だけ条件式が不足する。(かうに、新たなる条件式として、境界 S_2 での energy-flux (Ψ_{out}) の連続性を考えることにする。ここで、mass-flux (Ψ_{out}) は、すでに汎用軟件中に導入して、これを考慮しているので結局このことは近似的に次式で表わされる。

$$\int_{S_2} \frac{\partial \Psi_{out}}{\partial x} ds_2 = \int_{S_2} \frac{\partial \Psi_{out}}{\partial t} ds_2 \quad \dots (7)$$

この積分を水底から静水面まで行なうと、入射および通過位置で次式のようになる。

$$\left. \begin{aligned} \beta_j \sum_{S_2-in} S \{H\} + i \frac{g a}{\sigma k_0} e^{ik_0 x_0} \tanh k_0 h_0 \cdot A_r \\ = -i \frac{g a}{\sigma k_0} e^{-ik_0 x_0} \tanh k_0 h_0 \end{aligned} \right\} \quad \dots (8)$$

$$\left. \begin{aligned} \beta_j \sum_{S_2-out} S \{H\} + i \frac{g a}{\sigma k_0} \tanh k_0 h_0 \cdot A_t = 0 \end{aligned} \right\}$$

ここで、 $S = \int_S [N_i N_j] dS$ である。

以上、式⑨と式⑩を連立して解くことによつて、全未知量が決定され、他の諸量も次のように求めることができます。

(i) 通過率 K_T および反射率 K_R

$$K_T = |A_t|, K_R = |A_r| \quad \dots (9)$$

(ii) 表面波形 η

$$\eta = H(x, 0) e^{i \omega t} \quad \dots (20)$$

(iii) 速度ポテンシャル Ψ_j

$$\Psi_j = -\beta_j [N] \{H\} e^{i \omega t} \quad \dots (21)$$

6. 活用計算例 図-2 は、図中に示す形状の半透過性潜堤の反射率 K_R 、および通過率 K_T を計算した結果であり、上記の解析方法の検証を行なつたものである。

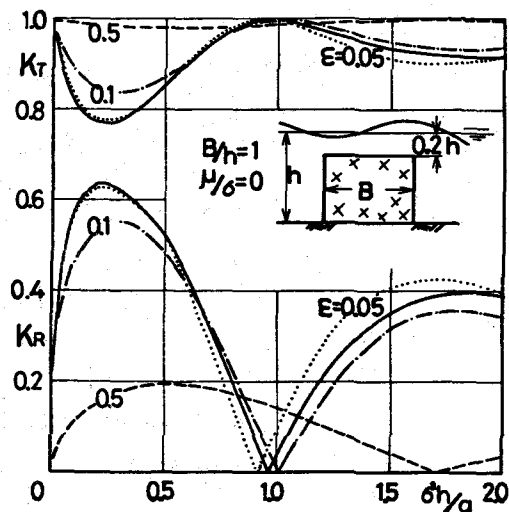


図-2 透過潜堤の反射率および通過率

透過潜堤の抵抗係数 $\mu/h = 0$ として、空隙率 E を 0.5, 0.1, 0.05 と変化させると、図中に実線で示した不透過潜堤の場合^{2), 3)} に漸近して行くことがわかる。またこの時、 $K_R^2 + K_T^2 = 1.0$ であり、さらに、 $E = 1.0$ (流体のみとする) とすると、当然ながら、 $K_R = 0.0, K_T = 1.0$ なる結果が得られている。なお計算に際しての要素分割は、水深方向に 20 分割、X 軸方向に 60 分割を行ない、全要素数 2,400、全節点数 1,281 である。

7. あとがき 有限要素法の透過性領域への適用としてここでは微小振幅波動の場合について解析方法を示したが、非定常な波動の場合についても解析検討中である。

参考文献

1) 竹川, 田淵: 有限要素法による非定常波動解析について, (1), (2)
昭和52年度 地盤応答部会講演会議録 pp. 173 ~ 174, pp. 175 ~ 176

2) 竹川, 田淵: 有限要素法による波動解析について, 第1報
1978. 7~8月, 海洋工学講習会講義 pp. 28 ~ 32

3) 井島武士, 佐々木富雄: 潜堤の効果に関する理論的研究
1977. 7~8月, 海洋工学講習会講義 pp. 141 ~ 147